

ОБРАБОТКА РЕЗУЛЬТАТОВ ИЗМЕРЕНИЯ ТЕМПЕРАТУРЫ ВРАЩАЮЩИХСЯ ОБЪЕКТОВ

Н.Н. Васин, В.А. Фурсов, А.Ю. Петров

1. **Общая схема системы измерений.** Структурная схема системы, предназначенной для измерения температуры вращающегося объекта, приведена на рис. 1. Она состоит из бесконтактного индукционного токосъемника БИТ [1] и модуля преобразования, выполненного в двух вариантах: в виде платы стандарта IBM PC или модуля стандарта КАМАК. БИТ представляет собой закрепленный на вращающемся объекте диэлектрический диск с передающими $L_{п1}$ и приёмнокомпенсационными катушками $L_{пк1}$, к каждой паре которых подключена соответствующая термопара ТП₁. При вращении диска передающие катушки поочередно проходят между секциями приемной $L_{пр}$, в которой наводится импульсный сигнал U_x . Когда $L_{п1}$ находится между секциями приемной $L_{пр}$, то соответствующая ей $L_{пк1}$ будет между секциями компенсирующей катушки L_k .

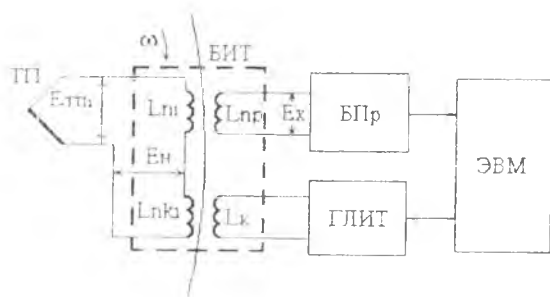


Рис. 1

Амплитуда U_x определяется разностью э.д.с. термопары $E_{тп1}$ и э.д.с. $E_{н1}$, наведенной в катушке $L_{пк1}$ полем компенсирующей катушки L_k , а также сопротивлением измерительной цепи, взаимной индуктивностью передающей и приемной катушек, скоростью вращения объекта ω . Сигнал U_x в блоке преобразования БПр усиливается, фильтруется, преобразуется в цифровой код N_x передается в ЭВМ для обработки. Кроме того, ЭВМ с рядом дополнительных устройств управляет работой модуля

ЭВМ задает начальный код $N_{\text{глит}}$, которому соответствует определенная скорость изменения тока I генератора ГЛИТ. При максимальном $N_{\text{глит}}$ происходит перекомпенсация, сигнал U_x и соответствующий ему код N_x становятся отрицательными. С каждым оборотом диска код $N_{\text{глит}}$ уменьшается на определенное значение по заданной программе, а код N_x возрастает на некоторую величину. Зависимость $N_x=f(N_{\text{глит}})$ линейная. Расчетным путем определяется код $N_{\text{глит}}$, при котором происходит полная компенсация, когда $E_{\text{тп}}-E_n=0$. По значению этого расчетного кода вычисляется величина сигнала $E_{\text{тп}}$ и температура. Влияние помех приводит к тому, что отдельные значения измерений не совпадают с линейной характеристикой $N_x=f(N_{\text{глит}})$. Импульсные помехи приводят к появлению выбросов. Поэтому важное значение имеет способ обработки полученных данных.

2. Построение процедуры обработки данных. Зависимость кода АЦП от кода ГЛИТ описывается моделью регрессии вида $y_i = c^T x_i + \xi_i, \quad i = 1, n, \quad (1)$

где y_i - код АЦП, $x_i = [1, N_i]^T$ - вектор, вторая компонента которого N_i - является текущим значением кода $N_{\text{глит}}$, а $c^T = [c_0, c_1]$ - вектор искомых параметров (c_0 - значение ординаты при нулевом коде $N_{\text{глит}}$ и c_1 - угловой коэффициент), ξ_i - погрешность измерения. Для n наблюдений в соответствии с (1) можно записать векторно - матричное соотношение вида $y = Xc + \xi, \quad (2)$

где y - вектор, составленный из n наблюдений кода АЦП; X - матрица $n \times m$, строки которой - $x_i^T, \quad i = \overline{1, n}$; $\xi = [\xi_1, \xi_2, \dots, \xi_n]^T$ - вектор случайной погрешности.

Для нормального закона распределения, необходимого для эффективной работы МНК, характерна малая вероятность больших отклонений. Вне интервала $[3\sigma, 3\sigma]$ находится лишь 0.27% распределения. В реальных условиях до 10% - 30% всех измерений могут существенно отличаться от нормальных. При малом числе измерений n МНК становится непригодным для решения задачи определения $N_{\text{оглит}}$. Ниже приводятся устойчивые к аномальным ошибкам алгоритмы обработки экспериментальных данных, протестированные на 8-ми замерах системы. На графиках рис. 2 отображены два замера с наиболее характерными выбросами, вызванными, вероятно, сбоями синхронизации системы. Для решения задачи определения $N_{\text{оглит}}$ при малом числе измерений и наличии аномальных ошибок

предложен следующий простейший алгоритм обработки данных, позволяющий избавиться от влияния выбросов.

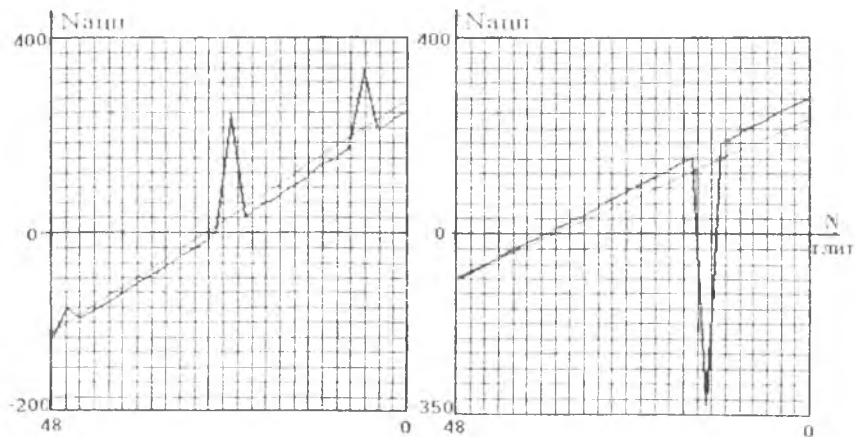


Рис. 2

По методу наименьших квадратов находится уравнение прямой $f1(N_{глит})$. Устанавливается заранее заданный максимальный интервал изменения значений $f1(N_{глит})$, равный 50% от диапазона изменения значений кода $N_{цп}$. Коды $N_{цп}$, не попавшие в данный интервал, заменяются значениями функции $f1(N_{глит})$ при соответствующем $N_{глит}$. Например, в замере №2 (табл. 1) при $N_{глит}=14$ значение кода $N_{цп}=-333$ заменяется на значение функции $f1(N_{глит})=147$. Происходит сглаживание линейной выборки $N_{цп}$. На следующем этапе, снова по методу наименьших квадратов находится уравнение $f2(N_{глит})$, при этом интервал изменения значений задаётся уже вдвое меньше предыдущего. Коды $N_{цп}$, выходящие за границы заданного интервала также заменяются значениями функции $f2(N_{глит})$. Далее всё аналогично повторяется. Как показали расчёты, достаточно двух, трёх итераций, чтобы получить выборку со сглаженными выбросами. Дальнейшее сужение интервала не даёт сколько-нибудь существенного повышения точности. В результате обработки данных замера №2 получено значение $N_{0глит}=37,38$. Повышение точности при обработке экспериментальных данных возможно с использованием других методов регрессионного анализа, например, построение адаптивной ро-

бастной процедуры, которая обеспечивает устойчивость к аномальным ошибкам оценок искомого вектора. Высокая точность робастных процедур, при существовании случайных ошибок, обеспечивается приданием меньшего веса наблюдениям, которые измеряются с большой ошибкой. Матрица весовых коэффициентов на каждом шаге итерации уточняется [2].

Таблица 1

Нглит	2	6	10	14	18	22	26	30	34	38	42	46
Нацп	267	239	207	-333	149	117	87	53	26	-3	-35	-68
f1	267	239	207	147	149	117	87	53	26	-3	-35	-68
Рез-т.	267	239	207	175	149	117	87	53	26	-3	-35	-68

Алгоритм робастной процедуры с перестраиваемой матрицей весовых коэффициентов состоит из следующей последовательности шагов:

1-й шаг. Задание матрицы $G(0)=E$ и начального значения $k=0$.

2-й шаг. Вычисление оценки: $\hat{c}(k) = [X^T G(k) X]^{-1} X^T G(k) Y$ (3)

3-й шаг. Увеличение номера шага на единицу. $k=k+1$ и проверка условия - $k = 3$ Если это равенство выполняется, задача считается решенной и процесс останавливается. Иначе осуществляется переход к следующему шагу

4-й шаг. Построение вектора невязок: $\Psi(k) = Y - X\hat{c}(k)$

5-й шаг. Формирование весовой матрицы $G(k) = G[\Psi(k)]$ и переход к шагу 2.

Матрица $G(k)$ на каждом текущем шаге k формируется в следующей последовательности:

а) вычисление суммы модулей компонент вектора невязок:

$$\psi_0 = \delta \sum_{i=1}^n |\psi_i|, \quad (\delta = 0,01) :$$

б) вычисление начальных значений весовых коэффициентов:

$$g_i = (|\psi_i|^k + \psi_0)^{-1} ;$$

в) нормировка весовых коэффициентов:

$$g_i = g_0 g_i, \quad i=1,n, \text{ где } g_0 = n / \sum_{i=1}^n g_i ;$$

Искомая оценка кода ГЛИТ определяется как $\bar{x} = -\hat{c}_0 / \hat{c}_1$.

Второй этап обработки информации заключается в последующем сглаживании коротких последовательностей оценок кода ГЛИТ. Для этого используется алгоритм типа "скользящего окна", работающий по той же, что и описанная выше, схеме. Отличия связаны с видом конкретных соотношений. В частности, на шаге 2 вместо формулы (3) для вычисления сглаженной оценки \bar{x} используется соотношение $\bar{x} = \frac{1}{n} \sum_{i=1}^n g_i x_i$, где g_i - весовые коэффициенты (в описанном выше алгоритме это диагональные элементы матрицы G). А компоненты вектора невязок на 4 м шаге определяются как $\psi_i = \bar{x}_i - x_i$, $i = \overline{1, n}$. В остальном алгоритм совпадает с точностью до обозначений.

Результаты обработки. Эффективность описанных алгоритмов проверялась на экспериментальных данных. В таблице 2 представлены результаты вычисления $N_{\text{ОГЛИТ}}$ на основе МНК ($N_1\text{ОГЛИТ}$) и двух выше изложенных методов $N_2\text{ОГЛИТ}$ - модифицированный МНК, $N_3\text{ОГЛИТ}$ - метод с перестраиваемой матрицей весовых коэффициентов. Анализ результатов показывает, что МНК дает погрешность +5%. Робастные алгоритмы устойчивы к сбоям в экспериментальных данных, что позволило снизить погрешность вычисления $N_{\text{ОГЛИТ}}$ до $\pm 0,3\%$.

Таблица 2

Замер	№ 1	№ 2	№ 3	№ 4	№ 5	№ 6	№ 7	№ 8
$N_1\text{ОГЛИТ}$	38,63	36,29	39,69	37,38	35,92	37,20	37,32	37,24
$N_2\text{ОГЛИТ}$	37,46	37,38	37,39	37,38	37,31	37,32	37,32	37,24
$N_3\text{ОГЛИТ}$	37,45	37,43	37,38	37,40	37,25	37,32	37,40	37,24

Заключение. Рассмотренные робастные алгоритмы обработки измерений позволяют существенно (более чем на порядок) повысить точность измерения температуры при появлении в исходных данных аномальных погрешностей. Разработанная система позволяет измерять сигналы 16-ти датчиков в диапазоне 0-50 мВ с основной погрешностью 0,5%. Скорость вращения объекта составляет 1000-15000 об/мин, температура окружающей среды в районе расположения БИТ $0^{\circ} - 200^{\circ}\text{C}$

ЛИТЕРАТУРА

1. Васин Н.Н. А с 1619070 СССР//Б.И N 1. 1991. с.122.
2. Фурсов В.А Анализ точности и построение алгоритмов идентификации по малому числу наблюдений - Изв. АН СССР, Техн. кибернетика, N 6, 1991г.

**АНАЛОГО-ЦИФРОВЫЕ ПРЕОБРАЗОВАТЕЛИ
ДВУХТАКТНОГО ИНТЕГРИРОВАНИЯ ДЛЯ МОСТОВЫХ
ТЕНЗОРЕЗИСТОРНЫХ ДАТЧИКОВ**

Вилоп Л.Э

Включение тензорезисторов по мостовой схеме, как правило, имеет место в высокоточных датчиках, представляющих собой обособленный конструктивный узел и предназначенных для измерения физических величин через деформацию упругого элемента датчика.

Для получения измерительной информации с таких датчиков в системах измерения медленноменяющихся величин находят применение АЦП двухтактного интегрирования (АЦП ДИ), обеспечивающие в сравнении с другими видами АЦП повышенную разрешающую способность. Так в системах измерения тяги газотурбинных двигателей с мостовыми тензорезисторными датчиками усилий типа ТВС АЦП двухтактного интегрирования обеспечивает разрешающую способность 15 бит при выходном сигнале датчика 40 мВ и времени преобразования 60 мс [1].

Схемотехника таких АЦП имеет отличия от схемотехники АЦП ДИ цифровых вольтметров [2,3]. Точность преобразования в них определяется точностью соответствия цифрового кода на выходе АЦП деформации тензорезистора. К узлам, определяющим эту точность, добавляется схема питания датчика и линия связи "датчик-преобразователь". Вместе с тем, при условии стабильности величины выходного сопротивления датчика и отсутствии влияния остаточных параметров ключевых элементов, не имеет принципиального значения величина входного сопротивления интегратора. Последнее обстоятельство дополняет множество